

УДК 517.9

# Динамика системы управления, содержащей ансамбль осцилляторов, связанных через обратную связь

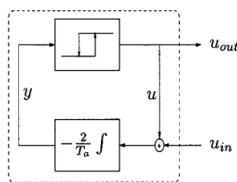
© А. С. Кузнецова<sup>1</sup>

**Аннотация.** Рассматривается система осцилляторов, связанных через гистерезисную нелинейность. Исследуется динамика системы и вопросы устойчивости движений. Используются аналитический и численный подходы.

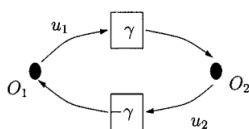
**Ключевые слова:** Колебательная система, осцилляторы связанные через гистерезисную нелинейность, синхронизация.

## 1. Введение

В данной статье рассматривается модель системы связанных осцилляторов, которая была алгоритмически описана в работе [7]. Такие системы встречаются в экологии, химии и медицине, например, при разработке устройств введения лекарств [4, 3, 5]. Система связанных осцилляторов представляет собой динамическую систему. Возникает вопрос, какие из известных нам типов движений могут возникнуть в этих системах. Модель системы изображена на рис. 1.1, 1.2:



Р и с у н о к 1.1



Р и с у н о к 1.2

Каждый осциллятор представляет собой систему с одним переменным входом  $u_{in}(t)$  и одним переменным выходом  $u_{out}(t)$ . Значения функций  $u_{in}(t)$  и  $u_{out}(t)$  являются скалярами. Внутри осциллятор состоит из системы-интегратора с обратной связью, которая осуществляется через реле. Осциллятор  $O_1$  работает следующим образом. На вход интегратора подается сумма внешнего сигнала  $u_{in}(t)$  и сигнала обратной связи  $u(t)$ . Эта сумма интегрируется с коэффициентом  $-\frac{2}{T_a}$ , в результате получается сигнал  $y(t)$ , который поступает на вход в реле. Реле переходит из включенного состояния (на выходе 1) в выключенное (на выходе  $-1$ ), если сигнал на входе  $y(t)$  достигает  $-1$  сверху и переходит из выключенного состояния во включенное, если сигнал на входе достигает 1 снизу [6, 2].

<sup>1</sup>Аспирантка кафедры высшей математики, Санкт-Петербургский государственный университет, г. Санкт-Петербург; an.s.kuznetsova@gmail.com.

В статье [1] была получена математическая модель данной системы:

$$\begin{cases} \dot{x}(t) = -\frac{2}{T_1}(-\gamma u_2(y(t)) + u_1(x(t))), \\ \dot{y}(t) = -\frac{2}{T_2}(\gamma u_1(x(t)) + u_2(y(t))), \end{cases} \quad (1.1)$$

где  $\gamma, T_1, T_2 \in R_+^1$  - параметры,  $u_{10}, u_{20} \in \{1, 0\}$  - начальные условия для реле,  $x_0, y_0 \in R^1$  - начальные условия для системы,

$$u_1(x(t)) = \begin{cases} -1, & \text{if } (x(t) < 1 \wedge u(t-0) = -1) \vee (x(t) = -1), \\ 1, & \text{if } (x(t) > -1 \wedge u(t-0) = 1) \vee (x(t) = 1), \\ u_{10}, & \text{if } x(\tau) \in (-1, 1) \quad \forall \tau \in [t_0, t], \end{cases}$$

$$u_2(y(t)) = \begin{cases} -1, & \text{if } (y(t) < 1 \wedge u(t-0) = -1) \vee (y(t) = -1), \\ 1, & \text{if } (y(t) > -1 \wedge u(t-0) = 1) \vee (y(t) = 1), \\ u_{20}, & \text{if } y(\tau) \in (-1, 1) \quad \forall \tau \in [t_0, t]. \end{cases}$$

Не уменьшая общности будем полагать, что  $T_2 > T_1$ . Была установлена следующая теорема [1]:

**Т е о р е м а 1.1.** Система двух осцилляторов, показанная на рисунке 1, синхронизируется, причем осциллятор  $O_2$  опережает  $O_1$ , тогда и только тогда, когда  $\gamma > \frac{T_2 - T_1}{T_2 + T_1}$ . Данное синхронное состояние является устойчивым.

**О п р е д е л е н и е 1.1.** Процесс установления и поддержания режима колебаний двух и более связанных осцилляторов, при котором периоды этих осцилляторов совпадают называется синхронизацией [7].

## 2. Постановка задачи

Поставим своей задачей изучить динамику системы (3.1) при  $\gamma < \frac{T_2 - T_1}{T_2 + T_1}$ . Для этого рассмотрим систему (3.1) и покажем, что при параметрах, удовлетворяющих неравенству  $\gamma < \frac{T_2 - T_1}{T_2 + T_1}$ , любое решение (3.1) ограничено. Заметим, что при  $T_2 > T_1 > 0$  всегда  $\gamma < 1$ .

**Т е о р е м а 2.1.** При любых начальных условиях решение  $(x(t), y(t))$  системы (3.1) попадает в множество  $A = [-1, 1] \times [-1, 1]$  плоскости  $Oxy$  и остается там все время своего существования.

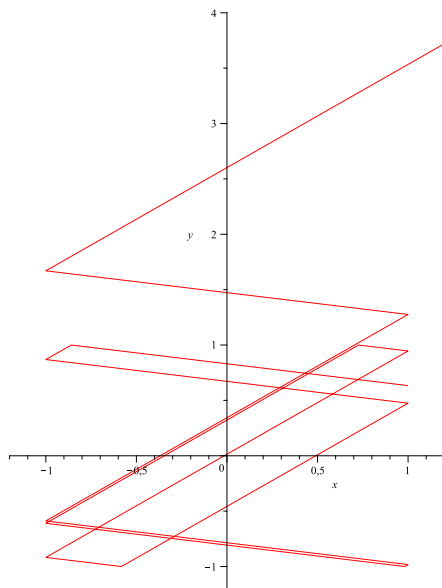
**Д о к а з а т е л ь с т в о.** Рассмотрим правую часть (3.1). При всех допустимых управлениях фазовые траектории данной системы представляют собой ломаные прямые. Рассмотрим решение данной системы, начинающееся в точке  $(x_0, y_0)$  с начальным управлением  $(1, 1)^T$  (для остальных значений управлений доказательство аналогично). В этом случае изображающая точка  $(x(t), y(t))$  будет идти вдоль прямой

$$\begin{pmatrix} x(t) \\ y(t) \end{pmatrix} = \begin{pmatrix} x_0 \\ y_0 \end{pmatrix} + \begin{pmatrix} \frac{-2+2\gamma}{T_1} \\ \frac{-2-2\gamma}{T_2} \end{pmatrix} t$$

Так как  $\frac{-2+2\gamma}{T_1} < 0$ ,  $\frac{-2-2\gamma}{T_2} < 0$ , следовательно существует момент  $t_1$ , при котором одна из координат ( $x$  или  $y$ ) достигнет  $-1$ . Пусть это будет  $x$  для определенности. Следовательно, в момент  $t_1$  управление переключится в режим  $(-1, 1)^T$ . Данному управлению соответствует движение вдоль прямой с направляющим вектором  $\frac{2+2\gamma}{T_1} > 0$ ,  $\frac{-2+2\gamma}{T_2} < 0$ , следовательно, при любом значении  $u_1$ , ( $u_1 = 1$  или  $u_1 = -1$ ) значение  $y(t)$  будет

убывать. Таким образом существует момент  $\hat{t}$ , при котором  $y(\hat{t}) = -1$ . Таким образом изображающая точка  $(x(t), y(t))$  попадает в множество  $A$ .

Покажем, что она остается там при возрастании  $t$ . Действительно, пусть в момент  $(\hat{t})$  решение попадает в множество  $A$ , и пусть  $u(\hat{t}) = (1, 1)^T$  (остальные три состояния управления рассматриваются аналогично). При таком управлении решение может выйти за границы области  $A$  только, если пересечет прямую  $y = 1$  или  $x = 1$ . Но точка  $(x(t), y(t))$  движется вдоль прямой с направляющим вектором  $(\frac{-2+2\gamma}{T_1} < 0, \frac{-2-2\gamma}{T_2} < 0)$ . Таким образом в фазовом пространстве все время, пока будет работать управление  $(1, 1)^T$  будет  $x < 1$  и  $y < 1$ .



Р и с у н о к 2.1

Доказательство закончено.

### 3. Система трех осцилляторов

Рассмотрим движение системы

$$\begin{cases} \dot{x}(t) = -\frac{2}{T_1}(u_1(x(t)) + \gamma u_3(z(t))), \\ \dot{y}(t) = -\frac{2}{T_2}(u_2(y(t)) + \gamma u_1(x(t))), \\ \dot{z}(t) = -\frac{2}{T_3}(u_3(z(t)) + \gamma u_2(y(t))), \end{cases} \quad (3.1)$$

где  $\gamma, T_1, T_2, T_3 \in R_+^1$  - параметры,  $u_{10}, u_{20}, u_{30} \in \{-1, 1\}$  - начальные условия для реле,  $x_0, y_0, z_0 \in R^1$  - начальные условия для системы, а

$$u_i(\alpha(t)) = \begin{cases} -1, & \text{if } (\alpha(t) < 1 \wedge u(t-0) = -1) \vee (\alpha(t) = -1), \\ 1, & \text{if } (\alpha(t) > -1 \wedge u(t-0) = 1) \vee (\alpha(t) = 1), \\ u_{i0}, & \text{if } \alpha(\tau) \in (-1, 1) \quad \forall \tau \in [t_0, t]. \end{cases}$$

В работе [1] была установлена теорема:

**Т е о р е м а 3.1.** При  $1 < \gamma < 3$  существует единственное состояние синхронизации, которое описывается уравнением (3.2).

$$\begin{pmatrix} x \\ y \\ z \end{pmatrix} = \begin{cases} (-1)^{k+1} \begin{pmatrix} x_0 \\ 1 \\ z_0 \end{pmatrix} + (t - (k-1)(t_1 + t_2)) \begin{pmatrix} \frac{2-2\gamma}{T_1} \\ \frac{2\gamma-2}{T_2} \\ \frac{-2\gamma-2}{T_3} \end{pmatrix} \\ t \in [(k-1)(t_1 + t_2 + t_3), (k-1)(t_1 + t_2 + t_3) + t_1], \\ \\ (-1)^{k+1} \begin{pmatrix} x_1 \\ y_1 \\ -1 \end{pmatrix} + (t - k(t_1 + t_2) + t_2) \begin{pmatrix} \frac{2+2\gamma}{T_1} \\ \frac{2\gamma-2}{T_2} \\ \frac{2-2\gamma}{T_3} \end{pmatrix} \\ t \in [(k-1)(t_1 + t_2 + t_3) + t_1, (k-1)(t_1 + t_2 + t_3) + t_1 + t_2], \\ \\ (-1)^{k+1} \begin{pmatrix} 1 \\ y_2 \\ z_2 \end{pmatrix} + (t - k(t_1 + t_2) + t_2) \begin{pmatrix} \frac{2\gamma-2}{T_1} \\ \frac{-2\gamma-2}{T_2} \\ \frac{-2\gamma+2}{T_3} \end{pmatrix} \\ t \in [(k-1)(t_1 + t_2 + t_3) + t_1 + t_2, k(t_1 + t_2 + t_3)], \end{cases} \quad (3.2)$$

**Теорема 3.2.** При  $1 < \gamma < 3$  у системы (3.1) существует единственное состояние синхронизации, которое является асимптотически устойчивым.

**Доказательство.** Рассмотрим отображение Пуанкаре для движений данной динамической системы на плоскости  $y = 1$ . Для этого выберем начальную точку  $(x_k, 1, z_k)$ . В статье [4] была установлена последовательность переключений для любого решения системы (3.1), которая соблюдается по крайней мере со второго переключения:  $\dots \rightarrow (-1, 1, 1) \rightarrow (-1, 1, -1) \rightarrow (1, 1, -1) \rightarrow (1, -1, -1) \rightarrow (1, -1, 1) \rightarrow (-1, -1, 1) \rightarrow \dots$ . Проходя все шесть переключений фазовая кривая вновь попадает на поверхность  $y = 1$ . Таким образом можно записать уравнения для последовательности переключений:

$$\begin{pmatrix} x_k \\ 1 \\ z_k \end{pmatrix} + (t_1 - t_4) \begin{pmatrix} -\frac{2\gamma-2}{T_1} \\ -\frac{2-2\gamma}{T_2} \\ -\frac{2+2\gamma}{T_3} \end{pmatrix} + (t_2 - t_5) \begin{pmatrix} -\frac{-2\gamma-2}{T_1} \\ -\frac{2-2\gamma}{T_2} \\ -\frac{-2+2\gamma}{T_3} \end{pmatrix} + (t_3 - t_6) \begin{pmatrix} \frac{2\gamma-2}{T_1} \\ \frac{-2-2\gamma}{T_2} \\ \frac{2-2\gamma}{T_3} \end{pmatrix} = \begin{pmatrix} x_{k+1} \\ 1 \\ z_{k+1} \end{pmatrix}. \quad (3.3)$$

Учитывая, что переключения происходят, когда одна из координат достигает значения 1 или  $-1$ , можно записать дополнительные соотношения:

$$\begin{aligned} z_k + t_1 \left( -\frac{2+2\gamma}{T_3} \right) &= -1, x_{k+1} = -1 + t_6 \frac{(2-2\gamma)}{T_1} \\ -1 + t_4 \left( \frac{2-2\gamma}{T_2} \right) + t_5 \left( \frac{2-2\gamma}{T_2} \right) + t_5 \left( \frac{2+2\gamma}{T_2} \right) &= 1, 1 + t_1 \left( \frac{2-2\gamma}{T_2} \right) + t_2 \left( \frac{2-2\gamma}{T_2} \right) + t_3 \left( \frac{2+2\gamma}{T_2} \right) = -1 \\ -1 + t_2 \left( \frac{2-2\gamma}{T_3} \right) + t_3 \left( \frac{2-2\gamma}{T_3} \right) + t_4 \left( \frac{2+2\gamma}{T_3} \right) &= 1, 1 + t_3 \left( \frac{2-2\gamma}{T_1} \right) + t_4 \left( \frac{2-2\gamma}{T_1} \right) + t_5 \left( \frac{2+2\gamma}{T_1} \right) = -1 \end{aligned}$$

Таким образом, после исключения  $t_i, i = 1..6$  получаем:

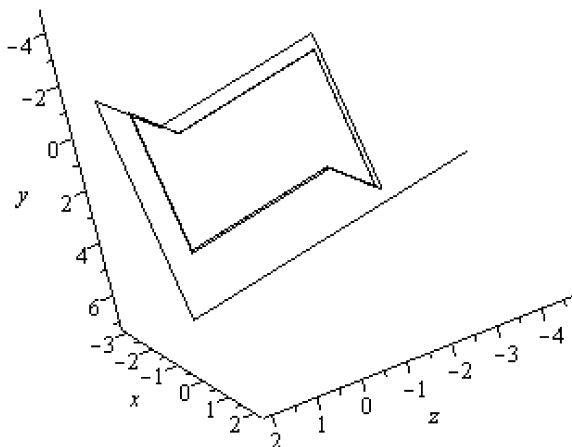
$$\begin{pmatrix} \left( \frac{1+\gamma}{1-\gamma} \right)^2 & 0 \\ 0 & -1 \end{pmatrix} \begin{pmatrix} x_{k+1} \\ z_{k+1} \end{pmatrix} = \begin{pmatrix} 1 & -\frac{2T_3\gamma}{T_1(1+\gamma)} \\ 0 & \frac{\gamma-1}{1+\gamma} \end{pmatrix} \begin{pmatrix} x_k \\ z_k \end{pmatrix} + \begin{pmatrix} - \left[ \frac{2T_3\gamma}{(1+\gamma)T_1} + \frac{2(1+\gamma^2)}{(1-\gamma)^2} + \frac{2T_2(1+\gamma)}{T_1(\gamma-1)} \right] \\ \frac{2}{1+\gamma} - 2\frac{T_1\gamma}{T_3(1-\gamma)} + 2\frac{T_2}{T_3} \end{pmatrix}$$

Так как матрица при  $(x_{k+1}, z_{k+1})^T$  неособая, следовательно, у нее существует обратная, и уравнение можно переписать в виде:

$$\begin{pmatrix} x_{k+1} \\ z_{k+1} \end{pmatrix} = \begin{pmatrix} \left(\frac{1-\gamma}{1+\gamma}\right)^2 & -\frac{2T_3\gamma(1-\gamma)^2}{T_1(1+\gamma)^3} \\ 0 & \frac{-\gamma+1}{1+\gamma} \end{pmatrix} \begin{pmatrix} x_k \\ z_k \end{pmatrix} + \begin{pmatrix} \left(\frac{1-\gamma}{1+\gamma}\right)^2 & 0 \\ 0 & -1 \end{pmatrix} \begin{pmatrix} -\frac{2T_3\gamma}{(1+\gamma)T_1} - \frac{2(1+\gamma)^2}{(1-\gamma)^2} - \frac{2T_2(1+\gamma)}{T_1(\gamma-1)} \\ \frac{2}{1+\gamma} - 2\frac{T_1\gamma}{T_3(1-\gamma)} + 2\frac{T_2}{T_3} \end{pmatrix}$$

Собственные числа матрицы при  $(x_k, z_k)$  по модулю меньше 1, поэтому последовательность сходится. Следовательно решение асимптотически устойчиво.

Доказательство закончено.

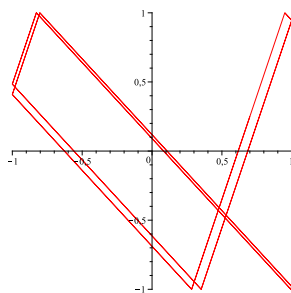


Р и с у н о к 3.1

**Пример 3.1.** График решения системы 3.1 с начальными значениями  $x_0 = 1.5, y_0 = 4, z = -4, u_1 = 1, u_2 = 1, u_3 = -1$ , значениями параметров  $\gamma = 1.5, T_1 = 3, T_2 = 7, T_3 = 9$  в фазовом пространстве  $Oxy$ .

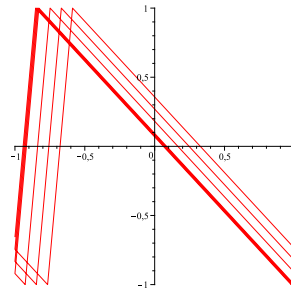
#### 4. Пространство параметров

Исследуем пространство параметров  $\gamma, T_1, T_2$  системы 1.1. Было показано [1], что при  $\gamma > \frac{T_2 - T_1}{T_2 + T_1}$  система имеет единственное асимптотически устойчивое периодическое решение, которое устойчиво при любых начальных данных  $x_0, y_0, u_{10}, u_{20}$ . В теореме 2.1. показано, что при  $0 < \gamma < \frac{T_2 - T_1}{T_2 + T_1}$  любое решение системы 1.1 ограничено в фазовом пространстве областью  $A = [-1, 1] \times [-1, 1]$ . Методом компьютерного моделирования было получено, что при  $0 < \gamma < \frac{T_2 - T_1}{T_2 + T_1}$  могут существовать периодические решения:

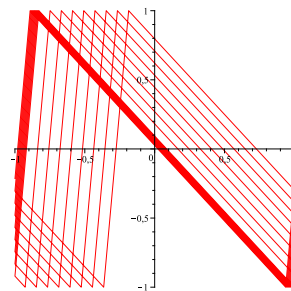


Р и с у н о к 4.1

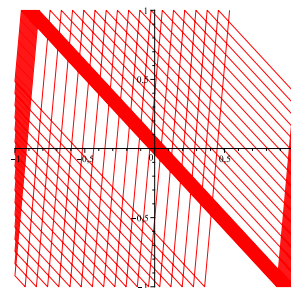
**Пример 4.1.** График решения системы 3.1 с начальными значениями  $x_0 = 0.8, y_0 = 0.5, u_1 = 1, u_2 = 1$ , значениями параметров  $\gamma = 0.5, T_1 = \sqrt{3} + 1, T_2 = 9$ .



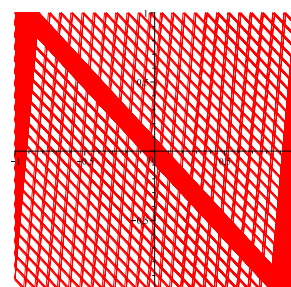
Р и с у н о к 4.2



Р и с у н о к 4.3



Р и с у н о к 4.4



Р и с у н о к 4.5

**Пример 4.2.** График решения системы 3.1 с начальными значениями  $x_0 = 1, y_0 = -1, u_1 = 1, u_2 = -1$ , значениями параметров  $\gamma = \frac{11}{21}, T_1 = 7, T_2 = 2$ . Вышеприведенные рисунки соответствуют 20, 50, 100, 450.

Численно было получено, что все решения системы 3.1 не являются грубыми относительно параметров  $\gamma, T_1, T_2$ , динамика системы существенно зависит от начальных данных.

## 5. Заключение

Рассмотрена система осцилляторов, связанных через гистерезисную нелинейность. Показано, что могут существовать устойчивые и неустойчивые решения. Показано, что все решения являются ограниченными. С помощью аналогичного подхода может быть исследована динамика системы, состоящей из любого конечного числа  $n$  связанных осцилляторов типа  $O_1$ .

## СПИСОК ЛИТЕРАТУРЫ

1. Кузнецова А.С. Синхронизация в осцилляторах, соединенных через обратную связь // Процессы управления и устойчивость: Труды 41-й международной конференции студентов и аспирантов. –2011. В печати.
2. Магнус К. Колебания. – М.: Мир, 1982. – 303 с.
3. Мигулин В.В. Основы теории колебаний. – М.: Наука, 1978. – 391 с.
4. Фейгин М.И. Вынужденные колебания систем с разрывными нелинейностями. – М.: Наука, 1994. – 285 с.
5. Li B., Siegel R.A. Global analysis of a model pulsing drug delivery oscillator based on chemomechanical feedback with hysteresis // Chaos. – 2000. – № 3. – P. 682-690.
6. Macki J.W., Nistri P., Zecca P. Mathematical models for hysteresis // SIAM Review. – 1993. – № 1. – P. 94-123.
7. Varigonda S., Georgiou T.T. Dynamics of relay relaxation oscillators // Transactions on automatic control. – 2001. – № 1. –P. 65-77.

## The dynamics of coupled oscillators with a feedback

© A. S. Kuznetsova<sup>2</sup>

**Abstract.** The dynamics of coupled relay oscillators is considered. The stability of synchrony mode was established. The boundness of motions was established. The approach is based on state-space representations.

**Key Words:** Coupled relay oscillators, synchronization.

<sup>2</sup>Postgraduate student of Higher Mathematics chair, Saint-Petersburg state university, Saint-Petersburg; an.s.kuznetsova@gmail.com.